

Seringues optiques pour la photolibération localisée de principes actifs

Les entités chimiques biologiquement actives utilisées comme principes actifs dans les médicaments sont traditionnellement introduites dans l'organisme par voie orale, intraveineuse ou intramusculaire. Ces méthodes présentent une résolution spatiale très faible. Des techniques de micro-injections permettent de mieux cibler la zone d'action du produit, mais elles sont invasives, car elles induisent une altération des tissus traversés.

Ce sujet propose d'étudier des systèmes qualifiés de « seringue optique » développés récemment dont le fonctionnement est décrit ci-après.¹

Un principe actif est rendu biologiquement inerte en bloquant son site d'interaction spécifique au moyen d'un **groupement protecteur photoactivable**. Le principe actif ainsi protégé est introduit dans un organisme par pénétration directe au travers des membranes cellulaires. Une **excitation biphotonique** délivrée par un laser pulsé permet de déprotéger le principe actif *in vivo* avec une résolution spatiale subcellulaire.

Ce type de système permet de délivrer un principe actif à l'échelle d'une unique cellule voire d'un organe cellulaire et cela sans altération des tissus.

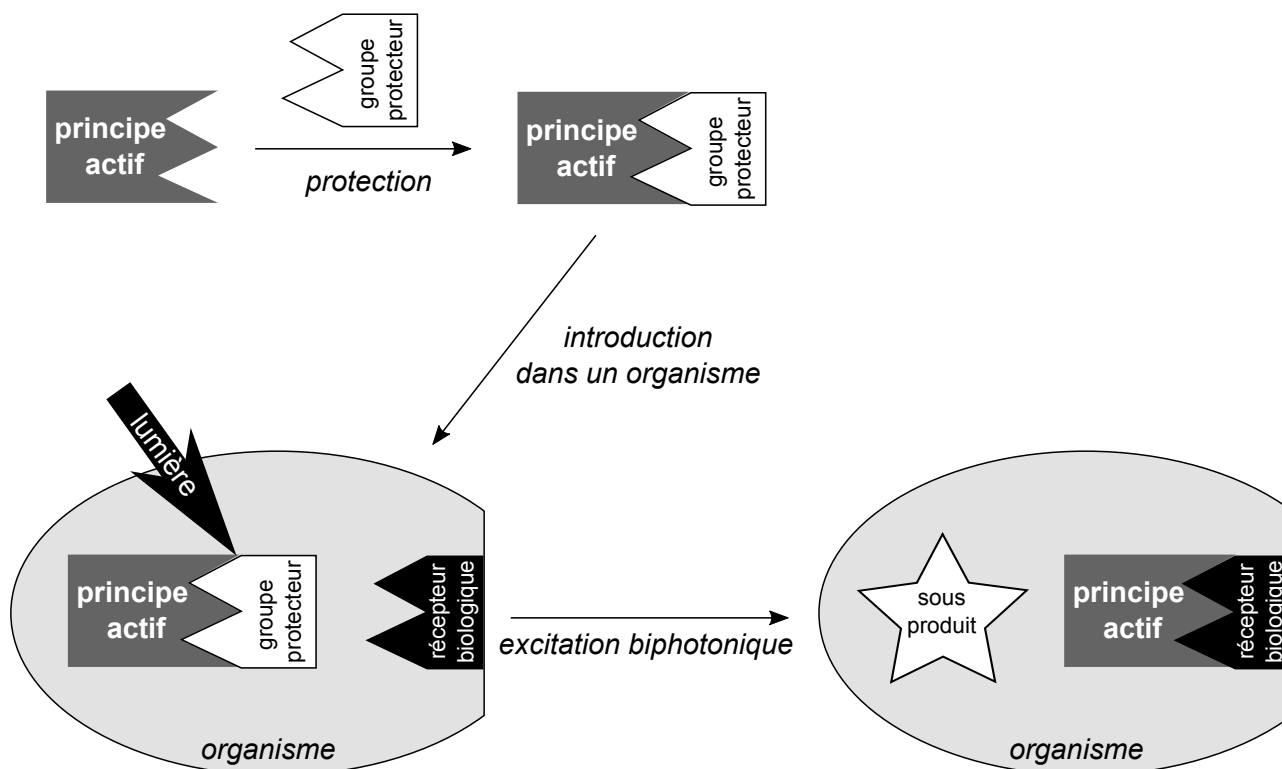


Figure 1 Schéma de la libération d'un principe actif dans un organisme par une seringue optique

Ce sujet se compose de quatre parties. La première compare l'excitation monophotonique classique et l'excitation biphotonique. Les deux suivantes étudient deux types de groupements protecteurs photoactivables utilisés pour protéger des alcools. La quatrième conclut l'étude proposée.

Certaines données utiles sont regroupées en fin d'énoncé. Ce sujet est accompagné d'un document réponse à rendre avec la copie, même s'il n'a pas été utilisé. Ce document réponse contient le tableau périodique des éléments.

¹ Quelques publications sur le sujet :

— *Angewandte Chemie - International Edition*, **46** (14), p. 2467–2469, **2007**.

— *Org. Lett.*, **10** (12), p. 2341–2344, **2008**.

— *Zebrafish*, **7** (2), p. 199–204, **2010**.

I Comparaison des excitations mono et biphotonique

L'excellente résolution spatiale des seringues optiques est basée sur l'excitation biphotonique des entités chimiques protégées. Cette partie étudie les points communs et les différences entre les excitations monophotonique et biphotonique.

I.A – Excitation monophotonique

L'excitation monophotonique d'une entité chimique correspond à l'absorption d'un photon d'énergie adaptée qui fait passer l'entité de son état fondamental à un état excité.

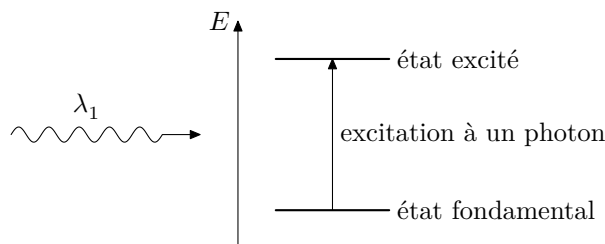


Figure 2 Diagramme énergétique rendant compte du processus d'excitation d'une entité chimique par absorption d'un photon de longueur d'onde λ_1 (en considérant seulement deux états possibles)

Q 1. Relier la différence d'énergie entre les deux états de l'entité à la longueur d'onde λ_1 .

Pour mettre en évidence ce phénomène, le spectre d'absorption de l'ion hexaaquatitane (III) $\text{Ti}(\text{H}_2\text{O})_6^{3+}$ a été enregistré. Pour cela, du chlorure de titane (IV) $\text{TiCl}_{4(s)}$ a été dissous dans de l'acide chlorhydrique de concentration égale à $1 \text{ mol}\cdot\text{L}^{-1}$. Un excès de poudre de zinc a été ajouté. Après filtration, la solution obtenue a été rapidement transférée dans une cuve de 1 cm de longueur qui a ensuite été placée sous atmosphère d'argon et scellée. Le spectre UV-visible a ensuite été enregistré et est reproduit en figure 3.

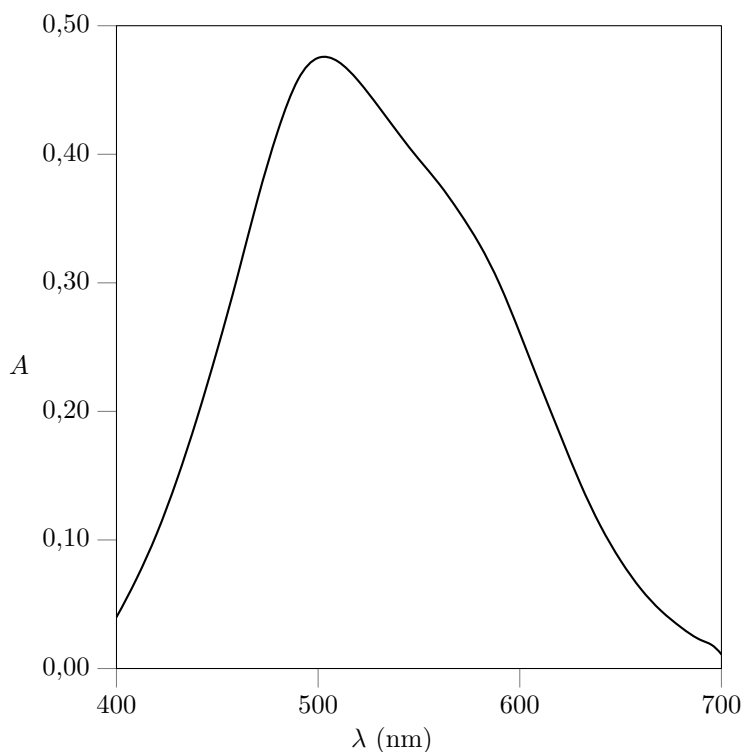


Figure 3 Spectre d'absorption d'une solution de $\text{Ti}(\text{H}_2\text{O})_6^{3+}$ dans l'acide chlorhydrique

- Q 2.** Écrire l'équation de la réaction modélisant la formation du complexe $\text{Ti}(\text{H}_2\text{O})_6^{3+}$ dans cette expérience.
- Q 3.** Expliquer pourquoi la solution de $\text{Ti}(\text{H}_2\text{O})_6^{3+}$ doit être gardée sous atmosphère d'argon.
- Q 4.** Écrire la configuration électronique de valence de l'ion Ti^{3+} dans son état fondamental.
- Q 5.** La figure A du document réponse donne le diagramme d'orbitales moléculaires (OM) de $\text{Ti}(\text{H}_2\text{O})_6^{3+}$, complexe de géométrie octaédrique. Compléter ce diagramme avec les électrons de valence du complexe dans l'état fondamental. On considèrera que l'eau est un ligand σ -donneur pur.
- Q 6.** Sur le diagramme d'orbitales moléculaires, représenter par une flèche la transition électronique responsable de l'absorption d'un photon dans le visible. Évaluer la valeur (en électron-volt, eV) de l'écart énergétique entre les deux orbitales moléculaires impliquées.

I.B – Excitation biphotonique

Au début des années 1930, Maria Göppert-Mayer a proposé une théorie selon laquelle une entité chimique peut passer de son état fondamental à un état excité lorsqu'elle absorbe simultanément deux photons de même longueur d'onde notée λ_2 .

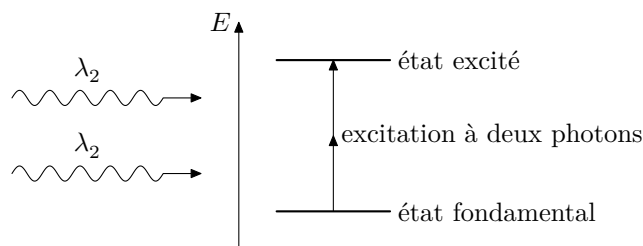


Figure 4 Diagramme énergétique rendant compte du processus d'excitation d'une entité chimique par absorption simultanée de deux photons de longueur d'onde λ_2 (en considérant seulement deux états possibles)

Q 7. Déterminer la relation entre λ_1 et λ_2 . En déduire le type de rayonnement à utiliser pour irradier une solution du complexe $\text{Ti}(\text{H}_2\text{O})_6^{3+}$ afin de provoquer son excitation biphotonique.

Une excitation biphotonique est observée lorsqu'un échantillon est irradié par un laser pulsé dont le faisceau est concentré au niveau du point focal image d'une lentille convergente. Avec le même montage optique, une excitation monophotonique aurait lieu sur tout le trajet lumineux (figure 5).

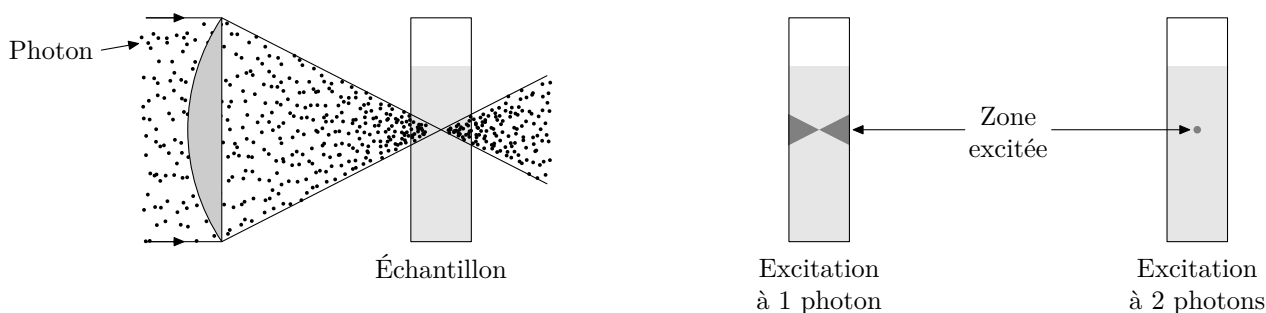


Figure 5 Comparaison des zones concernées par l'excitation monophotonique et biphotonique

Ceci est illustré par la photographie de la figure 6 qui présente une cuve spectroscopique contenant une espèce fluorescente (qui émet une lumière jaune lorsqu'elle est irradiée). En haut de la cuve, la solution est soumise à une excitation monophotonique (notée 1P) : l'émission de lumière a lieu sur toute la longueur de la cuve. En bas, la solution est soumise à une excitation biphotonique (notée 2P) : l'émission de lumière a lieu seulement au centre de la cuve (point blanc indiqué par une flèche).

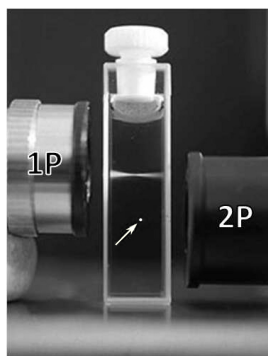


Figure 6 Crédits : W.B. Amos et M. Cipollone

Q 8. Proposer une explication pour rendre compte du fait que l'excitation biphotonique ne peut avoir lieu qu'au niveau du point focal image d'une lentille convergente.

Dans l'ouvrage collectif *Photosensitive Molecules for Controlling Biological Function*, James Chambers et Richard Kramer affirment que

L'excitation à deux photons présente principalement trois avantages par rapport aux procédés conventionnels d'excitation à un photon unique :

1. l'excitation est localisée dans un volume de l'ordre du femtolitre ($1 \text{ fL} = 1 \times 10^{-15} \text{ L}$ qui est environ le volume d'une bactérie *E. coli*), de sorte que la photo-déprotection peut n'être limitée qu'à une cellule spécifique voire à une région cellulaire ;
2. il y a moins de photo-dégradation des tissus biologiques ;
3. la pénétration dans l'échantillon est plus profonde.

Les caractéristiques d'un laser pulsé utilisé pour une excitation biphotonique sont données en figure 7.

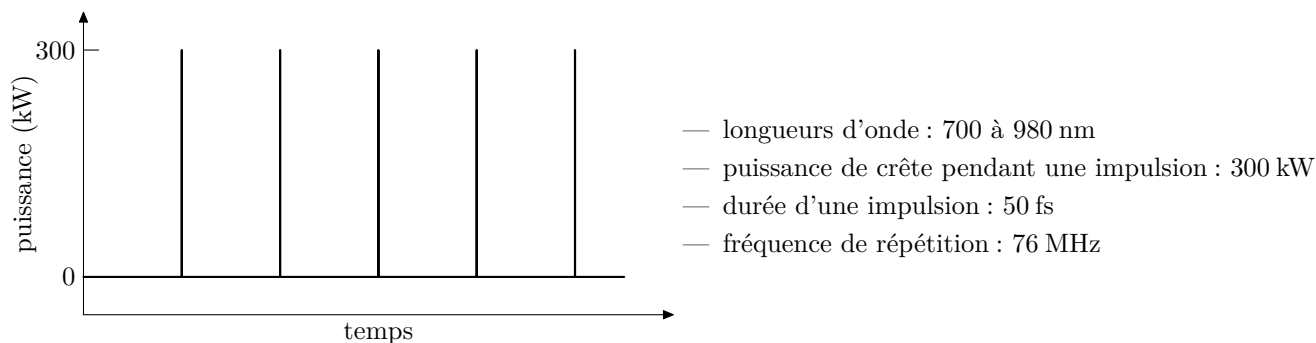


Figure 7 Caractéristiques d'un laser pulsé

Q 9. Déterminer la puissance moyenne du laser pulsé et la comparer à la puissance de crête. Relier cette comparaison à un des avantages cités par James Chambers et Richard Kramer.

Q 10. En vous basant sur l'étude du spectre d'absorption des entités chimiques présentes dans une cellule animale proposé en figure 8, expliquer pourquoi l'excitation biphotonique permet une pénétration plus profonde dans une cellule animale que l'excitation monophotonique.

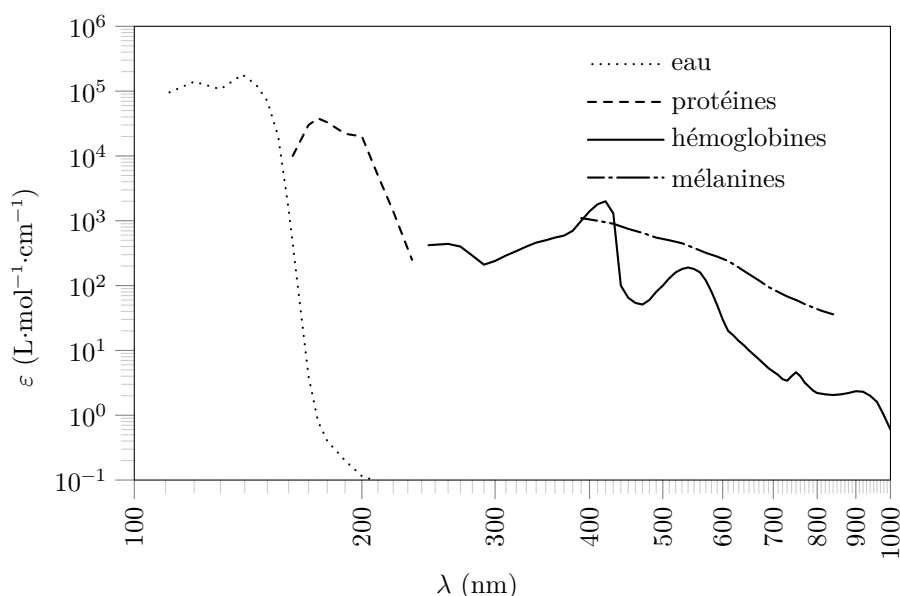


Figure 8 Spectre d'absorption des entités chimiques présentes dans une cellule animale (l'axe des ordonnées est gradué en coefficient d'absorption molaire)

II Photolibération d'un alcool protégé sous forme d'ester cinnamique

Une première méthode pour rendre inactif un alcool biologiquement actif (noté $R_{\text{bio}} - \text{OH}$ dans la figure 9) consiste à le protéger sous forme d'ester cinnamique. Sous irradiation, le principe actif est libéré de manière quantitative ainsi qu'un sous-produit qui est ici une coumarine fluorescente (voir sous-partie II.E).

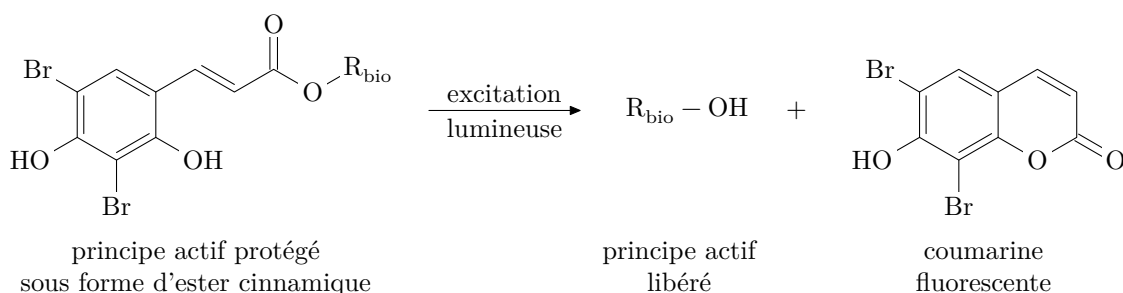


Figure 9

Cette partie présente la synthèse d'un ester cinnamique puis étudie la photo-déprotection de l'alcool puis enfin la fluorescence de la coumarine libérée.

II.A – Synthèse d'un alcool protégé

Pour démontrer l'efficacité de la méthode, on étudie l'ester cinnamique E où l'alcool protégé $R_{\text{bio}} - \text{OH}$ est de l'éthanol $\text{Et} - \text{OH}$. Le schéma de synthèse correspondant est proposé en figure 10.

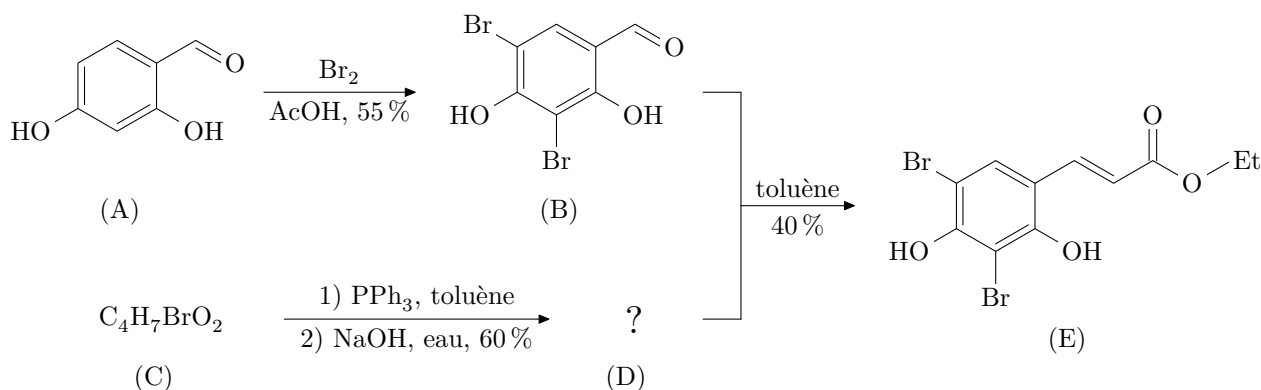


Figure 10

Q 11. Expliquer pourquoi, dans les laboratoires, le dibrome est souvent remplacé par le tribromure de pyridinium qui a la même réactivité chimique que le dibrome.

Q 12. Proposer des structures pour les espèces C et D.

Q 13. Indiquer le rôle de la soude dans la seconde étape de la transformation menant de C à D.

Avant d'entreprendre la transformation menant à E, une protection des groupes caractéristiques hydroxyle de B peut être envisagée. Plusieurs groupements protecteurs sont proposés dans le tableau 1.

Groupe protecteur	Conditions de protection	Conditions de déprotection
Bromure de benzyle	$\text{R} - \text{OH} \xrightarrow[2) \text{BrCH}_2\text{Ph}]{1) \text{NaH}}$?
Chlorure de triméthylsilyle	$\text{R} - \text{OH} \xrightarrow[\text{pyridine}]{\text{ClSi}(\text{CH}_3)_3}$	Bu_4NF
Chlorométhoxy méthane	$\text{R} - \text{OH} \xrightarrow[2) \text{ClCH}_2\text{OCH}_3]{1) \text{NaH}}$	Solution aqueuse d'acide sulfurique H_2SO_4
Chlorure d' <i>o</i> -nitrobenzyle	$\text{R} - \text{OH} \xrightarrow[2) \text{Cl}-\text{C}_6\text{H}_4\text{NO}_2]{1) \text{NaH}}$	Lumière ($\lambda \approx 300 \text{ nm}$)

Tableau 1

Q 14. Expliquer pourquoi protéger B peut s'avérer nécessaire.

Q 15. Proposer des conditions pour la déprotection d'un phénol protégé par le bromure de benzyle.

Q 16. Donner le mécanisme de la protection de l'alcool noté $\text{R} - \text{OH}$ par le chlorométhoxy méthane. Justifier l'utilisation de la solution aqueuse d'acide sulfurique H_2SO_4 pour la déprotection associée.

Q 17. Identifier le groupement protecteur le plus adapté en vue de la synthèse de E.

II.B – Mécanisme de la photo-déprotection de l'éthanol

Sous irradiation, une liaison $\text{C} = \text{C}$ de l'entité chimique E s'isomérisé, ce qui conduit à la formation de l'entité Z. Cette dernière évolue spontanément pour conduire à la libération de l'éthanol ainsi qu'à la formation de la coumarine fluorescente F (figure 11).

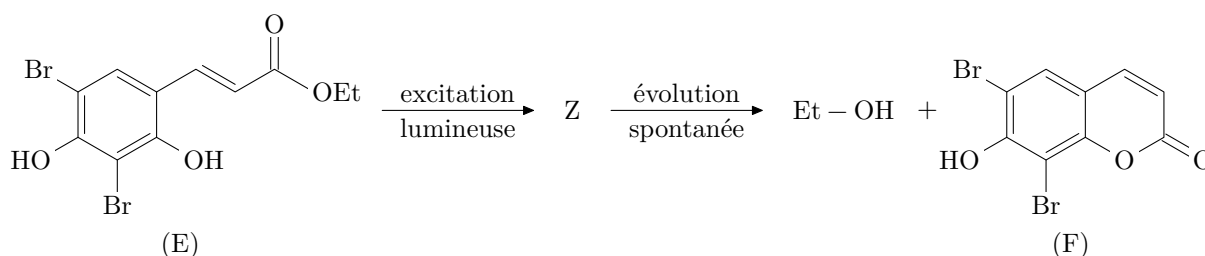


Figure 11

Q 18. Représenter la structure de Z. Citer la relation de stéréo-isomérisie qui existe entre les espèces chimiques Z et E.

Q 19. Proposer un mécanisme permettant d'expliquer la libération de l'éthanol et la formation de la coumarine F à partir de Z. Expliquer pourquoi cette transformation ne peut pas avoir lieu pour l'espèce E.

II.C – Suivi de la photo-déprotection de l'alcool par spectroscopie de RMN du proton

Le spectre de RMN ^1H de l'ester cinnamique E dans un solvant deutéré est reproduit en figure B du document réponse.

Q 20. Attribuer chacun des signaux du spectre en complétant le tableau A du document réponse avec les lettres a, b, c, d, e ou avec le symbole \emptyset .

La libération de l'éthanol et de la coumarine fluorescente F a été suivie par spectroscopie de RMN ^1H . La figure 12 donne les spectres de RMN enregistrés à plusieurs dates lorsque la solution d'ester cinnamique E est illuminée à 350 nm. Seule la région entre 5 et 8 ppm a été reproduite.

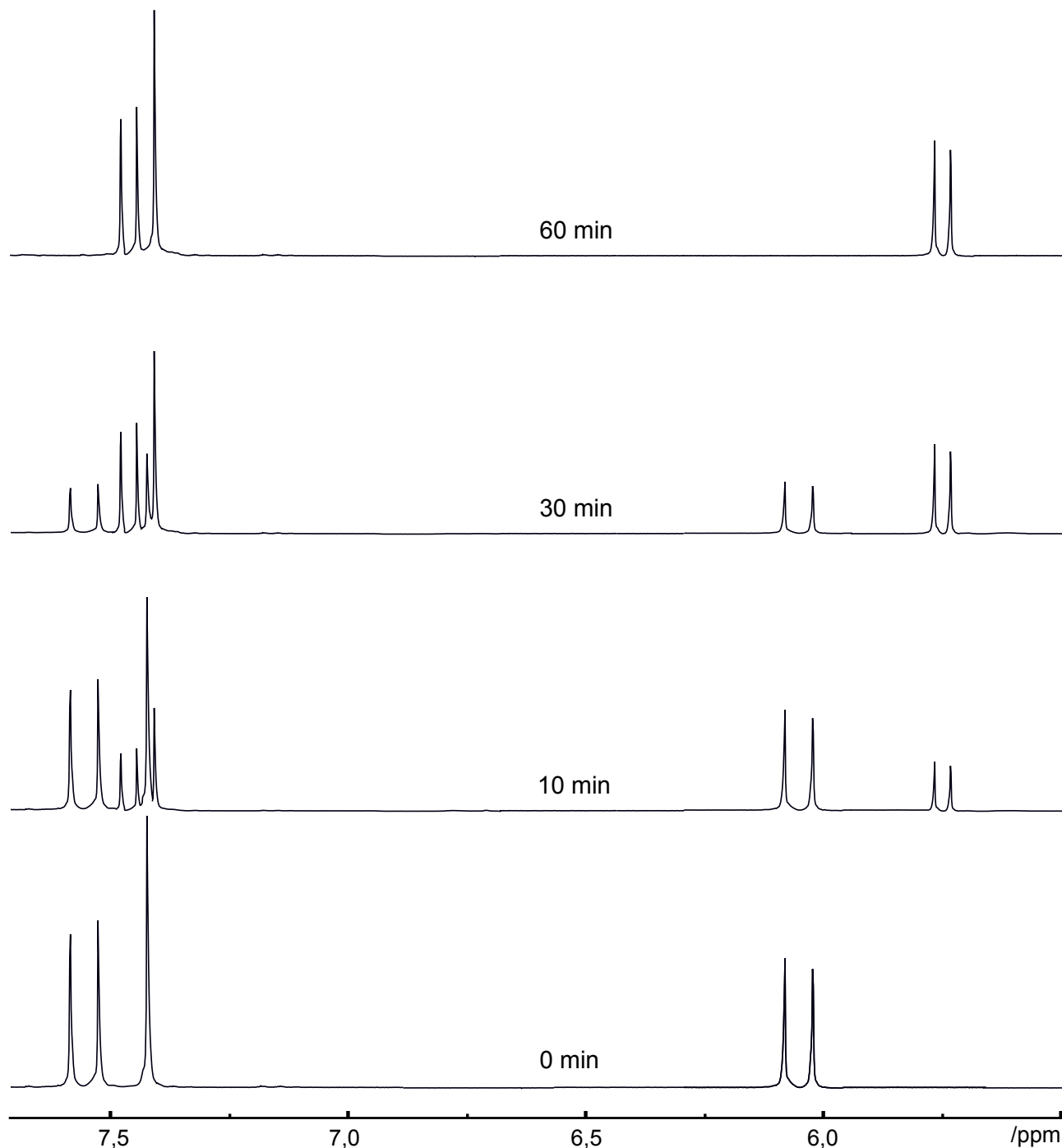


Figure 12 Spectres de RMN ^1H d'une solution d'ester cinnamique E ($c = 0,65 \text{ g}\cdot\text{L}^{-1}$ dans le mélange $\text{D}_2\text{O}/\text{CD}_3\text{CN}$ 1/1) soumise à une irradiation continue à 350 nm. Le spectromètre utilisé a une fréquence de 250 MHz

Q 21. Indiquer les informations que ces données expérimentales permettent de fournir sur la conversion de l'ester cinnamique E.

Q 22. Déterminer les valeurs des constantes de couplage (en hertz) des protons responsables des doublets dans le spectre initial et dans le spectre à 60 min. Montrer que les valeurs trouvées sont en accord avec le schéma de photo-déprotection proposé.

II.D – Compromis hydrophile-lipophile de l'ester cinnamique E

Les milieux biologiques présentent des valeurs de pH comprises entre 4,5 et 7,4. Ainsi, pour une application *in vivo*, une espèce utilisée comme seringue optique doit pouvoir passer facilement d'une forme neutre soluble dans les milieux lipophiles, comme les bicouches lipidiques, à une forme chargée soluble dans l'eau. Cette nature, tantôt lipophile, tantôt hydrophile, notamment liée aux différentes formes acido-basiques de l'espèce chimique, lui permet de traverser la membrane d'une cellule.

Pour étudier l'utilisation potentielle de l'ester cinnamique E comme seringue optique, ses constantes d'acidité ont été mesurées par spectrophotométrie.

Pour cela, une solution de l'ester cinnamique E à une concentration de $5,6 \mu\text{mol}\cdot\text{L}^{-1}$ est préparée dans une solution tampon universel contenant un mélange d'acides borique, acétique et phosphorique à $0,1 \text{ mol}\cdot\text{L}^{-1}$. La température est maintenue à 20°C .

Le pH de la solution ainsi préparée est réglé par ajout de soude ou d'acide chlorhydrique concentrée ($> 5 \text{ mol}\cdot\text{L}^{-1}$). Pour chaque valeur de pH, un spectre d'absorption est enregistré. Les différents spectres sont reproduits sur la figure 13. Deux expériences ont été réalisées, la première en allant de pH = 6,8 à pH = 3,0 (graphe de gauche) et la seconde en allant de pH = 6,3 à pH = 9,0 (graphe de droite).

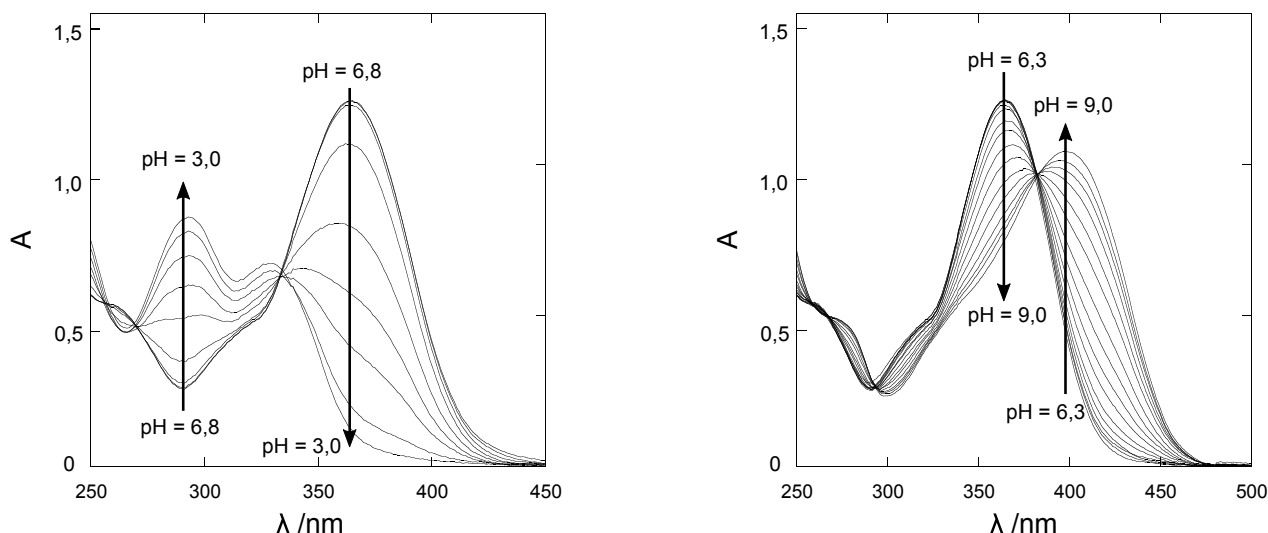


Figure 13 Gauche : spectres d'absorption pour pH = 3,0 ; 3,7 ; 4,4 ; 4,7 ; 5,2 ; 5,7 ; 6,3 ; 6,6 ; 6,8.
Droite : pour pH = 6,3 ; 6,6 ; 6,8 ; 7,0 ; 7,2 ; 7,4 ; 7,6 ; 7,8 ; 8,0 ; 8,1 ; 8,3 ; 8,5 ; 8,7 ; 8,8 ; 8,9 ; 9,0

L'étude du graphe de droite combinée à l'utilisation d'un tableau a permis de déterminer la valeur de l'un des pK_a de l'ester cinnamique E. Les résultats fournis par le tableau, en conservant toutes les décimales, sont 8,431478 pour le pK_a et 0,085329 pour l'incertitude associée à un niveau de confiance de 95 %.

Q 23. Exprimer le résultat de la mesure de ce pK_a .

Le tableau 2 correspond au relevé de l'absorbance en fonction du pH à $\lambda = 365 \text{ nm}$ pour le graphe de gauche.

pH	3,0	3,7	4,4	4,7	5,2	5,7	6,3	6,8
Absorbance (365)	0,13	0,21	0,42	0,60	0,87	1,11	1,24	1,25

Tableau 2

Q 24. Associer, en justifiant, une structure moléculaire à chaque forme acido-basique de l'ester cinnamique E notées AH_2 , AH^- et A^{2-} .

Q 25. Déterminer, à l'aide des données du tableau 2, la valeur de l'autre pK_a de l'ester cinnamique E. Pour cela, on pourra d'abord démontrer que

$$[\text{H}_3\text{O}^+_{(\text{aq})}](A - A_{\text{pH}=3,0}) = K_a(A_{\text{pH}=6,8} - A).$$

Q 26. Conclure quant à l'utilisation potentielle *in vivo* de l'ester cinnamique E en tant que seringue optique.

II.E – Application de la fluorescence moléculaire au suivi de la photo-déprotection

Une entité est dite fluorescente lorsqu'après avoir été excitée par absorption d'un ou de deux photons, elle revient à l'état fondamental en émettant un nouveau photon (désexcitation radiative).

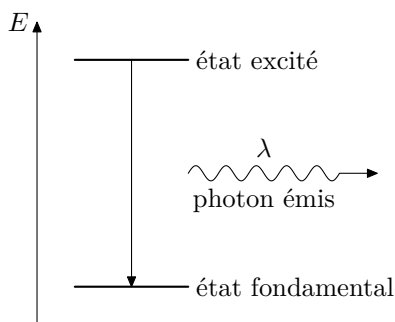


Figure 14 Diagramme énergétique rendant compte du processus de désexcitation radiative d'une entité chimique qui a été préalablement excitée par absorption d'un ou de deux photons (en considérant seulement deux états possibles)

L'intensité de la lumière émise par un échantillon contenant une entité fluorescente est appelée intensité de fluorescence. Elle peut être mesurée par un fluorimètre. Pour cela, une cuve spectroscopique de longueur ℓ reçoit un rayonnement incident d'intensité I_0 qui excite les entités chimiques présentes. L'entité fluorescente se désexcite en émettant de la lumière dont un photo-récepteur mesure l'intensité I_F (exprimée en unité arbitraire u.a.).

Dans la suite, on considère qu'une seule espèce chimique absorbe la lumière à la longueur d'onde de l'étude.

Q 27. Rappeler l'expression de l'absorbance A en fonction de l'intensité du rayonnement incident I_0 et de l'intensité du rayonnement transmis I_t .

On note Φ_F le rendement quantique de fluorescence qui est défini comme le rapport du nombre de photons émis par fluorescence sur le nombre de photons absorbés par la molécule.

Q 28. Relier I_F à I_0 , A et Φ_F .

En se plaçant à haute dilution, on peut faire le développement limité $10^{-A} \approx 1 - 2,3A$.

Q 29. Dans cette hypothèse, montrer que l'intensité de fluorescence s'écrit

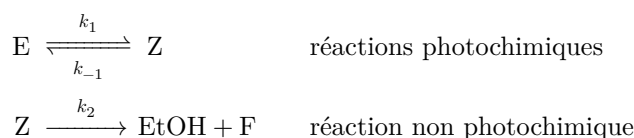
$$I_F = KI_0c$$

où K une constante dont on donnera l'expression en fonction de Φ_F , de ℓ , du coefficient d'absorption molaire de l'espèce chimique qui absorbe la lumière (noté ε).

Lors de la photo-déprotection d'un principe actif protégé sous forme d'ester cinnamique, la coumarine fluorescente F est libérée. Comme ni l'ester cinnamique ni le principe actif ne sont fluorescents, la quantité de coumarine libérée (et donc l'avancement de la photo-déprotection) peut être suivi en mesurant l'intensité de fluorescence de la solution au cours du temps.

Dans l'expérience présentée ci-après, une solution de l'ester cinnamique E (à la concentration $c_0 = 5,7 \mu\text{mol}\cdot\text{L}^{-1}$ dans un mélange d'acétonitrile (CH_3CN) et de tampon tris(hydroxyméthyl)aminométhane fixé à $\text{pH} = 7$) a été irradié à 350 nm avec une intensité lumineuse² $I_0 = 12,9 \times 10^{-8} \text{ E}\cdot\text{min}^{-1}$. L'intensité de fluorescence à 450 nm a été mesurée au cours du temps et la courbe obtenue est présentée en figure 15 (u.a. signifie « unité arbitraire »).

Pour rendre compte des résultats expérimentaux, une modélisation microscopique a été proposée avec le mécanisme suivant



Les valeurs numériques de k_1 , k_{-1} et k_2 ont pu être mesurées et sont fournies dans le tableau 3

Q 30. Établir, d'après ce modèle, les trois équations différentielles auxquelles obéissent les concentrations des espèces E , Z et F .

Dans un premier temps, on se place dans l'hypothèse où la transformation de E en Z conduit à un équilibre rapide du système, la réaction ayant une constante thermodynamique d'équilibre K° .

² L'intensité de la lumière excitatrice est donnée en $\text{E}\cdot\text{min}^{-1}$ (einstein par minute) où un einstein correspond à l'énergie lumineuse absorbée par une mole de réactif.

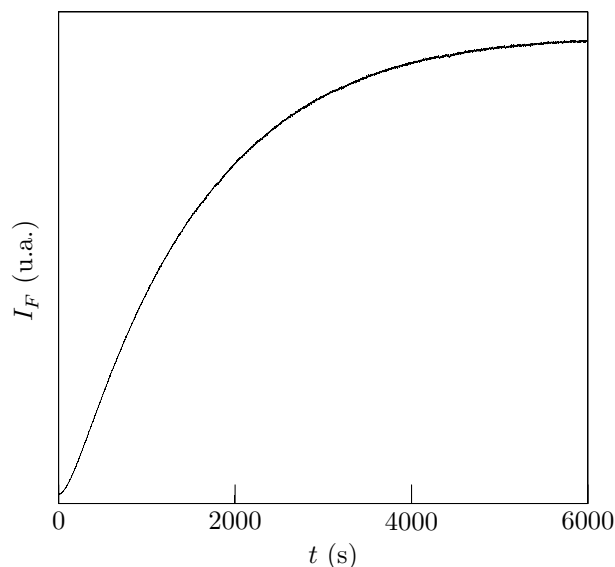


Figure 15

k_1	k_{-1}	k_2
$1,8 \times 10^{-3} \text{ s}^{-1}$	$3,2 \times 10^{-3} \text{ s}^{-1}$	$2,2 \times 10^{-3} \text{ s}^{-1}$

Tableau 3

Q 31. Montrer que la concentration en coumarine F vérifie alors une équation différentielle du type

$$\frac{d[\text{F}]}{dt} + \alpha[\text{F}] = \alpha c_0.$$

Exprimer la constante α en fonction de k_2 et K° .

Q 32. En déduire l'expression de l'évolution temporelle de la concentration en coumarine F en fonction du temps.

Q 33. À l'aide du résultat de la question 29, déterminer l'expression de l'intensité de fluorescence I_F en fonction du temps en supposant que seule la coumarine F contribue à la fluorescence. Identifier la ou les caractéristiques de la courbe expérimentale qui valident le modèle obtenu et celles qui l'invalident.

Pour améliorer le modèle, l'hypothèse d'un équilibre entre E et Z est abandonnée. Le programme Python de la figure C du document réponse a été écrit pour résoudre le système des trois équations différentielles établies à la question 30 puis pour tracer l'intensité de fluorescence en fonction du temps.

Q 34. Dans le programme proposé en figure C du document réponse, certaines lignes sont incomplètes. Compléter les parties manquantes.

Q 35. Le graphe obtenu lors de la mise en œuvre de ce programme est reproduit en figure 16. Expliquer en quoi ce modèle est plus fidèle aux résultats expérimentaux que le premier modèle.

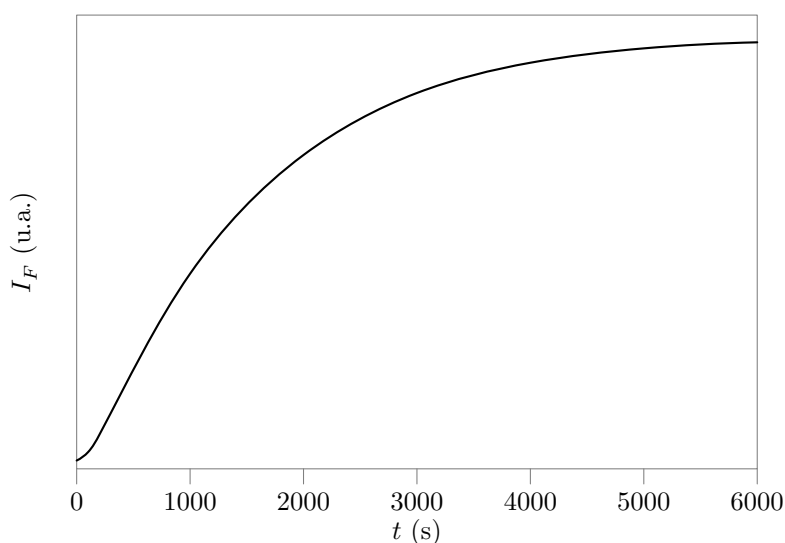


Figure 16

III Photolibération d'un alcool protégé à partir d'une oxazolone

Le remplacement de l'éthanol protégé sous forme d'ester cinnamique E par un alcool biologiquement actif s'est révélé difficile. Une autre approche a donc été envisagée à partir d'une oxazolone Oxa dont la réaction avec un alcool biologiquement actif $R_{\text{bio}} - \text{OH}$ conduit à un dérivé de l'ester cinnamique E'. Sous irradiation, ce dérivé libère l'alcool $R_{\text{bio}} - \text{OH}$ et une coumarine fluorescente F' de manière analogue à ce qui a été étudié précédemment (figure 17).

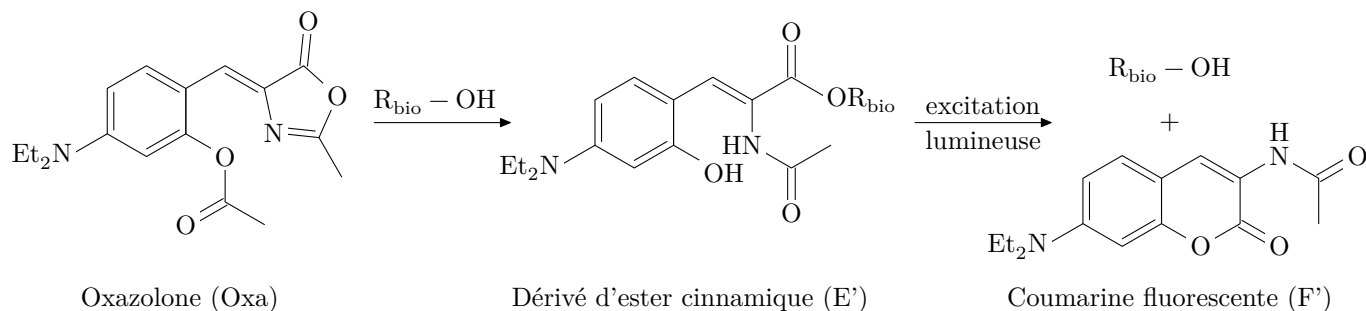


Figure 17

III.A – Synthèse de la coumarine F'

Avant de procéder à la synthèse de l'oxazolone Oxa, les auteurs ont synthétisé la coumarine F' de sorte à vérifier que son rendement quantique de fluorescence était suffisamment élevé. La séquence réactionnelle proposée pour la synthèse de la coumarine F' est précisée en figure 18.

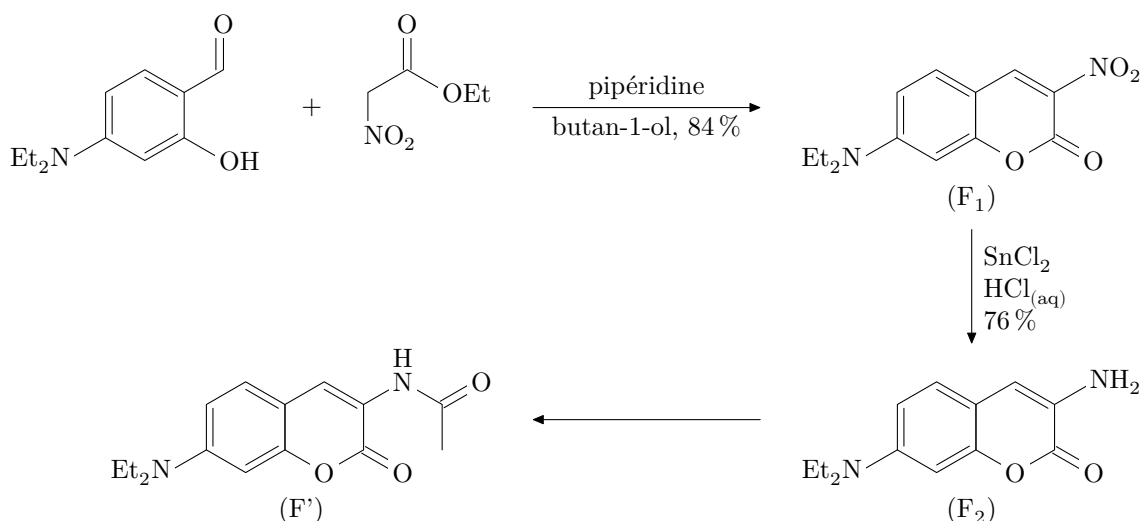


Figure 18

- Q 36.** Le nitroacétate d'éthyle $\text{O}_2\text{N}-\text{CH}_2-\text{CO}_2\text{Et}$ est un acide faible de valeur de pK_a égale à 5,8. Identifier le proton acide en justifiant.
- Q 37.** Indiquer pourquoi il a été préférable d'utiliser de la pipéridine plutôt que de la soude dans la première étape.
- Q 38.** Proposer un mécanisme réactionnel rendant compte de la formation de F_1 .
- Q 39.** Écrire l'équation de la réaction modélisant la transformation de F_1 en F_2 par l'action du chlorure d'étain (II) en milieu acide.
- Q 40.** Proposer des conditions opératoires permettant de passer de F_2 à F' .

III.B – Introduction du substrat alcool

Une preuve de principe de l'adaptabilité du squelette oxazolone vis-à-vis de l'introduction d'un alcool biologiquement actif a été obtenue en étudiant la protection du butan-1-ol.

Ainsi, l'oxazolone Oxa a été synthétisée à partir du 4-diéthylaminosalicylaldehyde lors d'une séquence qui ne sera pas étudiée. Oxa a ensuite été mis en présence du butan-1-olate de sodium formé *in situ* à partir du butan-1-ol pour donner E' (figure 19).

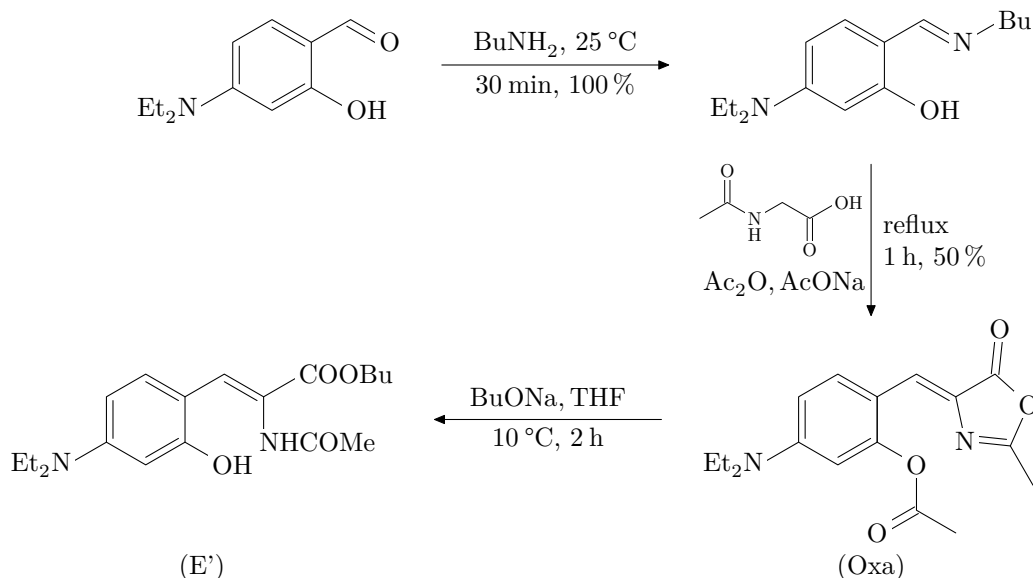


Figure 19

III.B.1) Étude du protocole expérimental de la dernière étape

On donne le protocole de synthèse de l'ester E' à partir de l'oxazolone Oxa.

Sodium hydride (200 mg) was washed with cyclohexane and suspended in freshly distilled tetrahydrofuran (10 mL) at 0 °C. Butan-1-ol (500 μ L) was slowly added at 0 °C and the mixture was stirred³ at room temperature for 2 h. Then Oxa (853 mg) was carefully added at 0 °C. The mixture was stirred for another 2 h at 10 °C. Water (5 mL) was added and the solution was neutralized with 1 mol·L⁻¹ HCl. The mixture was extracted with dichloromethane and the organic layer⁴ was washed with saturated NaCl, dried⁵ over magnesium sulfate and concentrated *in vacuo*⁶ to an orange oil. The oil was triturated⁷ in cyclohexane to give a pale yellow powder which was filtered and dried *in vacuo*. The product was recrystallized in dichloroethane. 695 mg of E' were isolated.

- Q 41. Indiquer le rôle de l'hydrure de sodium NaH dans ce protocole.
- Q 42. Justifier le choix des quantités de matière des espèces chimiques introduites.
- Q 43. Lister les entités chimiques présentes d'une part dans la phase aqueuse et d'autre part dans la phase organique à la suite de l'extraction liquide-liquide.
- Q 44. Commenter le choix du dichlorométhane comme solvant d'extraction. Plusieurs caractéristiques du solvant seront à prendre en compte dans la réponse.
- Q 45. Déterminer le rendement de la synthèse de l'ester E'.

III.B.2) Mécanisme d'ouverture du cycle à 5 chaînons

Oxa', représentée figure 20, a été utilisée pour modéliser l'ouverture du cycle à 5 chaînons de l'oxazolone Oxa par l'ion butan-1-olate.

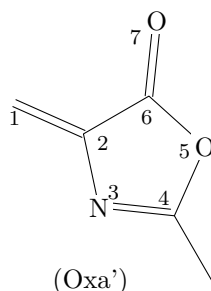


Figure 20

- Q 46. Localiser les sites électrophiles de la molécule Oxa' en justifiant.

³ to stir : agiter

⁴ organic layer : phase organique

⁵ to dry : sécher

⁶ to concentrated a solvent in vacuo : distiller un solvant à l'aide d'un évaporateur rotatif

⁷ to triturate : gratter

Les surfaces d'isodensité des orbitales moléculaires frontalières de la molécule Oxa' sont reproduites en figure 21. Le tableau 4 précise les coefficients portés par chaque atome dans la HO (plus haute orbitale moléculaire occupée) et dans la BV (plus basse orbitale moléculaire vacante) ainsi que les charges électroniques partielles de chaque atome.

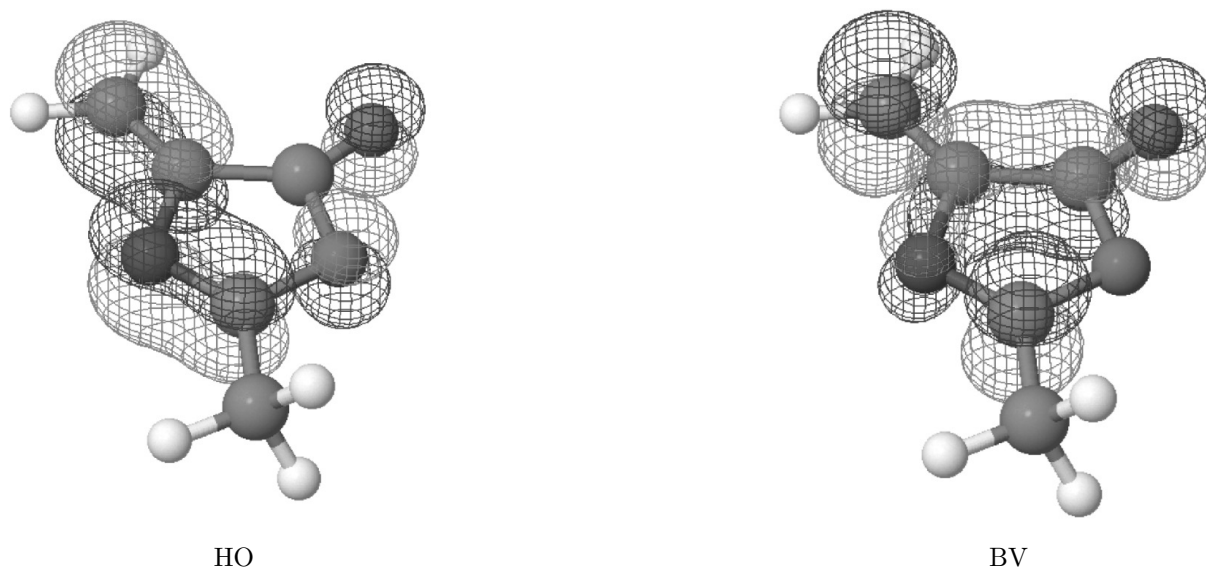


Figure 21

Atome	1	2	3	4	5	6	7
Coefficient dans la HO	-0,46	-0,31	0,49	0,36	-0,41	0,05	0,34
Coefficient dans la BV	0,64	-0,39	-0,26	0,46	-0,03	-0,38	0,45
Charge partielle	-0,10	0,04	-0,28	0,24	-0,25	0,30	-0,22

Tableau 4 Valeurs calculées à l'aide du site MolCalc

Q 47. Interpréter la régiosélectivité de l'ouverture du cycle à 5 chaînons de la molécule Oxa par l'ion butan-1-olate.

Q 48. Proposer un mécanisme réactionnel pour cette ouverture de cycle. On pourra l'écrire sur la molécule Oxa'.

On aurait pu imaginer la formation de l'espèce E'' au lieu de la formation de E' (figure 22).

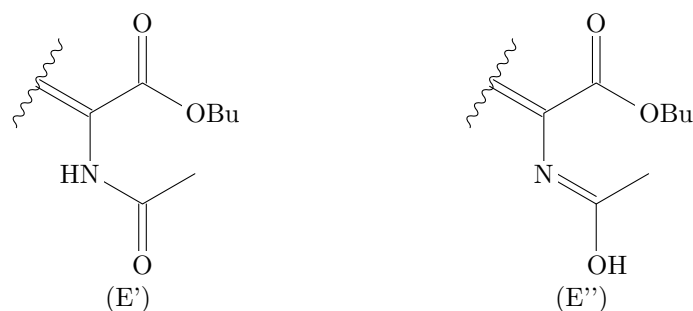


Figure 22

Q 49. Estimer la valeur de l'enthalpie standard de la réaction $E' = E''$. Commenter.

Q 50. En supposant que les entropies molaires standard des formes E' et E'' sont égales, montrer que l'équilibre entre E' et E'' est fortement en faveur de E' à 10 °C.

Q 51. Indiquer s'il faut augmenter ou diminuer la température pour augmenter la proportion de E'. Démontrer ce résultat. Commenter alors la valeur de température choisie.

IV Conclusion

Q 52. À la lumière de ce qui a été étudié dans ce sujet, citer des propriétés d'une seringue optique adaptée à la photo-déprotection d'un principe actif *in vivo*.

Données

Données relatives à certaines espèces chimiques⁸

Dibrome

Formule brute	Br ₂
Masse molaire	159,81 g·mol ⁻¹

Propriétés physiques

Température de fusion	-7,2 °C
Température d'ébullition	58,8 °C
Pression de vapeur saturante à 20 °C	23,3 kPa ⁹

Mentions de danger



H314 Provoque de graves brûlures de la peau et de graves lésions des yeux

H330 Mortel par inhalation

H400 Très toxique pour les organismes aquatiques

Tribromure de pyridium

Formule brute	C ₅ H ₅ NH ⁺ , Br ₃ ⁻
Masse molaire	319,82 g·mol ⁻¹

Propriétés physiques

Température de fusion	132–134 °C
-----------------------	------------

Mentions de danger



H314 Provoque de graves brûlures de la peau et de graves lésions des yeux

H335 Peut irriter les voies respiratoires

Dichlorométhane

Formule brute	CH ₂ Cl ₂
Masse molaire	83,933 g·mol ⁻¹

Propriétés physiques

Température de fusion	-95,1 °C
Température d'ébullition	40,0 °C

Mentions de danger



H315 Provoque une irritation cutanée

H319 Provoque une sévère irritation des yeux

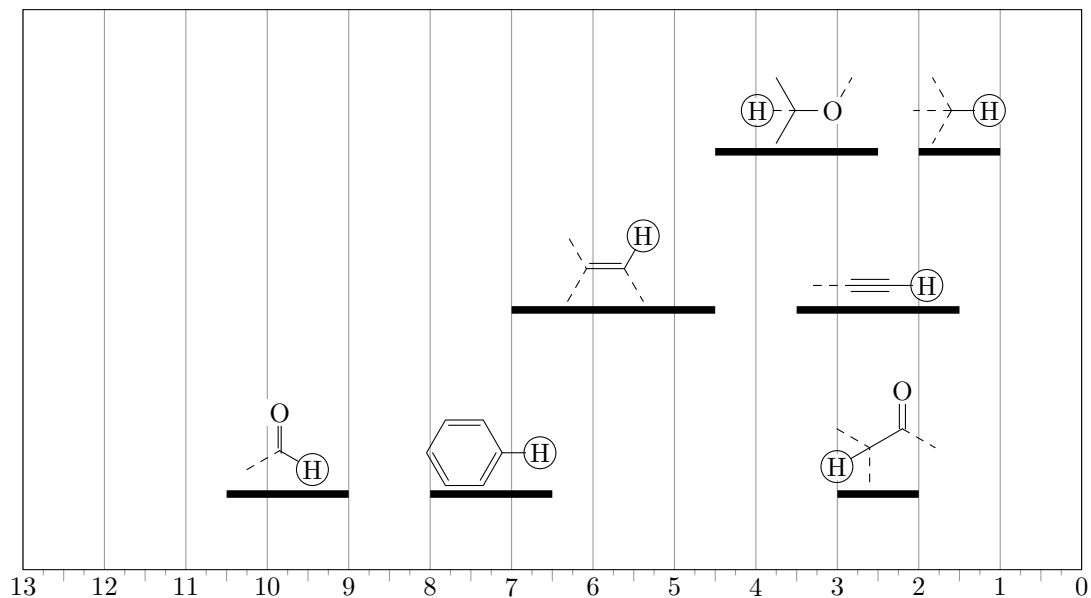
H336 Peut provoquer une somnolence ou des vertiges

H351 Susceptible de provoquer le cancer

⁸ Extraites du site du fournisseur de produits chimiques Sigma-Aldrich.

⁹ Pour l'eau à la même température, Wikipedia donne 23,4 mbar.

Table de déplacements chimiques en spectroscopie de RMN du proton

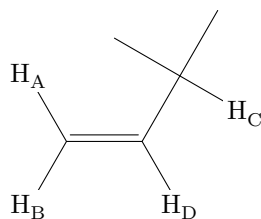


Relation entre la constante de couplage et écart de déplacement chimique

$$J = \nu_0 \frac{\Delta\delta}{10^6}$$

- J constante de couplage en Hz
- ν_0 fréquence de l'appareil pour le noyau considéré en Hz
- $\Delta\delta$ écart de déplacement chimique en ppm

Valeurs de certaines constantes de couplage proton-proton en spectroscopie de RMN du proton



$$\begin{aligned}
 {}^2J_{AB} &= 0 - 5 \text{ Hz} \\
 {}^3J_{AD} &= 11 - 18 \text{ Hz} \\
 {}^3J_{BD} &= 6 - 14 \text{ Hz} \\
 {}^3J_{CD} &= 4 - 10 \text{ Hz} \\
 {}^4J_{AC} = {}^4J_{BC} &= 0 - 2 \text{ Hz}
 \end{aligned}$$

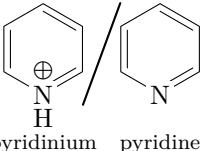
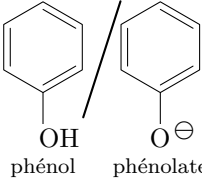
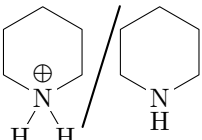
Électronégativités (selon Pauling)

H	C	O	F	Cl	Br
2,20	2,55	3,44	3,98	3,16	2,96

Enthalpies standard de formation à 298 K

	(E)-acide cinnamique (solide)	(Z)-acide cinnamique (solide)
$\Delta_f H^\circ$ (kJ·mol ⁻¹)	-328	-310

Constantes d'acidité à 298 K

Couple	 pyridinium / pyridine	 phénol / phénolate	 piperidinium / piperidine
pK_a	5,2	10,0	11,2

Couple	$\text{H}_2\text{CO}_{3(\text{aq})}/\text{HCO}_{3(\text{aq})}^-$	$\text{HCO}_{3(\text{aq})}^-/\text{CO}_{3(\text{aq})}^{2-}$	$\text{H}_2(\text{g})/\text{H}^-$
pK_a	6,3	10,3	≈ 35

Potentiel rédox standard à 298 K

Couple	$\text{Zn}_{(\text{aq})}^{2+}/\text{Zn}_{(\text{s})}$	$\text{Ti}_{(\text{aq})}^{4+}/\text{Ti}_{(\text{aq})}^{3+}$	$\text{H}_{(\text{aq})}^+/\text{H}_{2(\text{g})}$	$\text{Sn}_{(\text{aq})}^{4+}/\text{Sn}_{(\text{aq})}^{2+}$	$\text{O}_{2(\text{g})}/\text{H}_2\text{O}_{(\text{l})}$
E° (V)	-0,76	0,06	0	0,15	1,23

On considèrera que les potentiels rédox standard relatifs aux ions métalliques hydratés $\text{M}_{(\text{aq})}^{z+}$ sont identiques aux potentiels rédox standard relatifs aux aqua-complexes $\text{M}(\text{H}_2\text{O})_n^{z+}$.

Énergies de dissociation de liaison à 298 K

Liaison A – B	N – H	N – C	N = C	O – H	O – C	O = C
$D_{\text{A-B}}$ (kJ·mol ⁻¹)	389	292	615	362	368	750

Densité de liquides à 0 °C

Espèce	Butan-1-ol
d	0,83

Masses molaires moléculaires

Espèce	NaH	Butan-1-ol	Oxa	E'
M (g·mol ⁻¹)	24	71	316	348

Constantes physiques

Constante d'Avogadro	$N_A = 6,02 \times 10^{23} \text{ mol}^{-1}$
Charge élémentaire	$e = 1,6 \times 10^{-19} \text{ C}$
Célérité de la lumière dans le vide	$c = 3,0 \times 10^8 \text{ m}\cdot\text{s}^{-1}$
Constante de Planck	$h = 6,63 \times 10^{-34} \text{ J}\cdot\text{s}$
Constante des gaz parfaits	$R = 8,314 \text{ J}\cdot\text{K}^{-1}\cdot\text{mol}^{-1}$

• • • FIN • • •



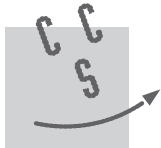
Numéro de place

Numéro d'inscription

Signature

Nom

Prénom



CONCOURS CENTRALE-SUPÉLEC

Épreuve : Chimie PC

Ne rien porter sur cette feuille avant d'avoir complètement rempli l'entête

Feuille /

Question 5

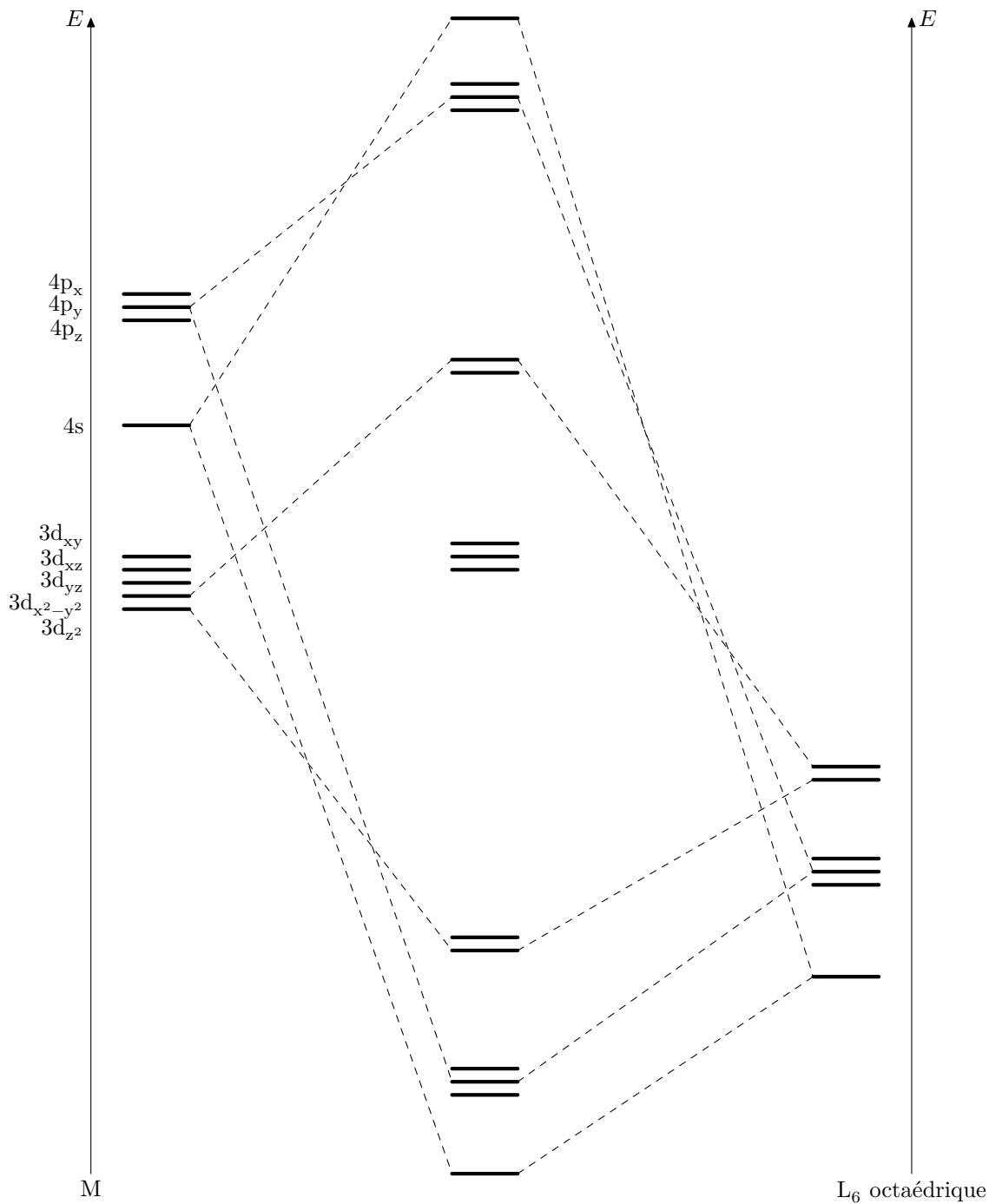


Figure A Diagramme d'orbitales moléculaires d'un complexe ML_6 octaédrique

Ne rien écrire

dans la partie barrée

X005-DR/2022-01-16 19:42:10

Question 20

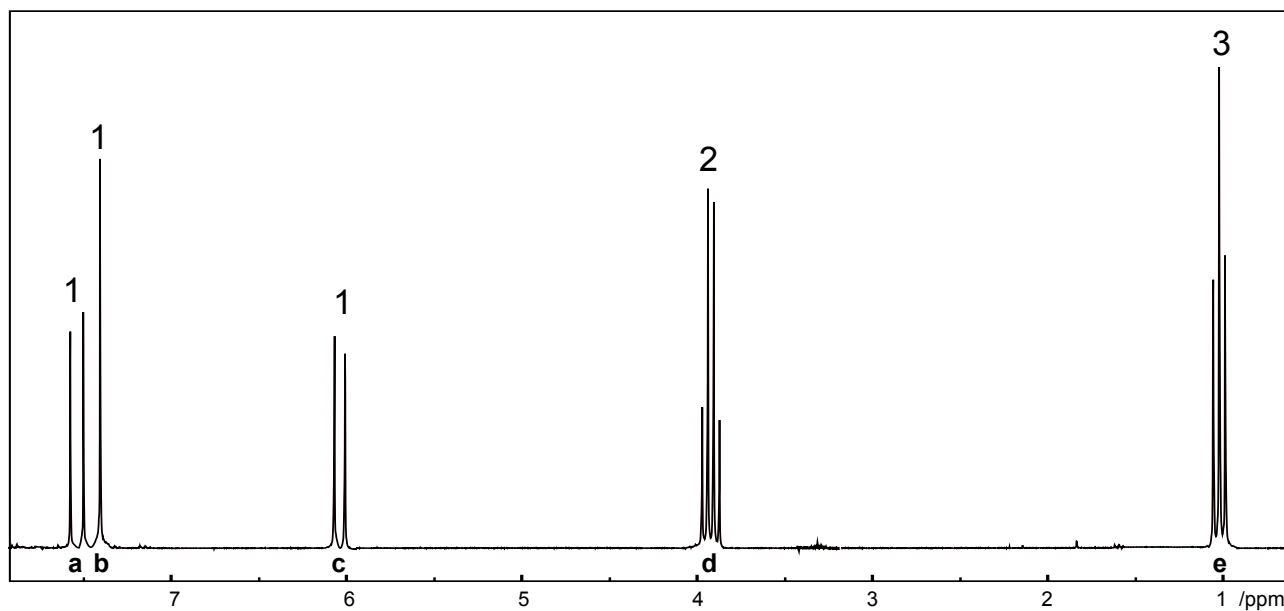
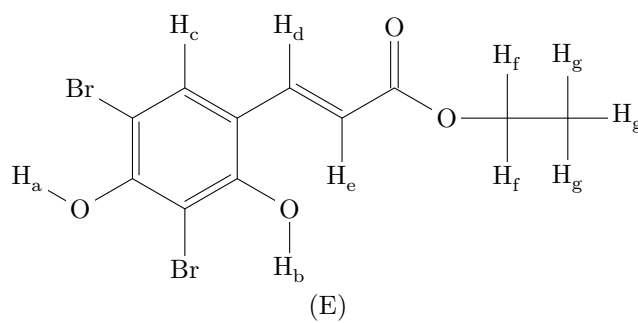


Figure B Spectre de RMN ^1H de l'ester cinnamique E ($c = 0,65\text{ g}\cdot\text{L}^{-1}$) enregistré par un spectromètre de fréquence 250 MHz dans le mélange $\text{D}_2\text{O}/\text{CD}_3\text{CN}$ 1/1



Proton(s)	H_a	H_b	H_c	H_d	H_e	H_f	H_g
Signal de RMN							

Tableau A

Question 34

```
### Packages nécessaires
import numpy as np, matplotlib.pyplot as plt

### Données numériques
IO = 12.9e-8 # intensité de la lumière excitatrice (E.min-1)
k1, km1, k2 = 1.8e-3, 3.2e-3, 2.2e-3 # constantes de vitesse (s-1)
K = 17.7 # constante définie à la question 29

### Concentrations initiales en espèces E, Z et F :
EO = .....
ZO = .....
FO = .....
y0 = np.array([EO, ZO, FO])

### Problème de Cauchy associé au système différentiel auquel obéissent les concentrations en E, Z et F
def f(Y:np.ndarray, t:float):
    L1 = .....
    L2 = .....
    L3 = .....
    return np.array([L1, L2, L3])

### Méthode d'Euler
def euler(f:callable, a:float, b:float, N:int, y0:np.ndarray) -> ([float], [np.ndarray]):
    h = (b - a) / N #pas de la méthode
    t = [a] #liste des temps
    Y = [y0]
    for k in range(0, N):
        newY = Y[-1] + h * f(Y[-1], t[-1])
        Y.append(newY)
        t.append(t[-1] + h)
    return t, Y

### Résolution du système différentiel auquel obéissent les concentrations en E, Z et F
ti, tf = 0, 6000 # instant initial et instant final (s)
N = 1000 # nombre de points
t, Y = euler(f, ti, tf, N, y0)

### Tracé de l'intensité de fluorescence
F = np.array([e[2] for e in Y]) # concentrations en F à chaque instant
IF = .....

plt.plot(t, IF, 'k-')
plt.xlabel('$t$ (s)')
plt.ylabel('$I_F$ (u.a.)')
plt.tick_params(axis='y', which='both', left=False, labelleft=False)
plt.show()
```

Figure C

Tableau périodique des éléments

Hydrogène 1 H 1,008	Masse atomique relative (d'après CIAAW, Atomic weights of the elements 2020)																Hélium 2 He 4,00260
Lithium 3 Li 7	Beryllium 4 Be 9,01218															Fluor 9 F 18,9984032	Néon 10 Ne 20,18
Sodium 11 Na 22,9897693	Magnésium 12 Mg 24,3															Azote 7 N 14,01	Argon 18 Ar 40
Potassium 19 K 39,098	Calcium 20 Ca 40,1	Scandium 21 Sc 44,9559	Titane 22 Ti 47,87	Vanadium 23 V 50,94	Chrome 24 Cr 52,00	Manganèse 25 Mn 54,9380	Fer 26 Fe 55,8	Cobalt 27 Co 58,9332	Nickel 28 Ni 58,69	Cuivre 29 Cu 63,5	Zinc 30 Zn 65,4	Gallium 31 Ga 69,72	Germanium 32 Ge 72,6	Arsenic 33 As 74,9216	Soufre 16 S 32,1	Phosphore 15 P 30,9737620	Chlore 17 Cl 35
Rubidium 37 Rb 85,468	Strontium 38 Sr 87,6	Yttrium 39 Y 88,906	Zirconium 40 Zr 91,2	Niobium 41 Nb 92,9064	Molybdène 42 Mo 96	Technétium 43 Tc [98]	Ruthénium 44 Ru 101,1	Rhodium 45 Rh 102,9055	Palladium 46 Pd 106,4	Argent 47 Ag 107,868	Cadmium 48 Cd 112,4	Indium 49 In 114,82	Étain 50 Sn 118,7	Antimoine 51 Sb 121,76	Tellure 52 Te 127,6	Iode 53 I 126,90	Xénon 54 Xe 131,3
Césium 55 Cs 132,905452	Baryum 56 Ba 137,3	Lanthanides 57-71		Tantale 73 Ta 180,9479	Tungstène 74 W 184	Rhénium 75 Re 186,21	Osmium 76 Os 190	Iridium 77 Ir 192,22	Platine 78 Pt 195,1	Or 79 Au 196,96657	Mercure 80 Hg 200,6	Thallium 81 Tl 204,4	Plomb 82 Pb 2,1 × 10 ²	Bismuth 83 Bi 208,9804	Polonium 84 Po [209]	Astate 85 At [210]	Radon 86 Rn [222]
Francium 87 Fr [223]	Radium 88 Ra [226]	Actinides 89-103		Dubnium 105 Db [268]	Seaborgium 106 Sg [269]	Bohrium 107 Bh [270]	Hassium 108 Hs [277]	Meitnerium 109 Mt [278]	Darmstadtium 110 Ds [281]	Roentgenium 111 Rg [282]	Copernicium 112 Cn [285]	Nihonium 113 Nh [286]	Flérovium 114 Fl [289]	Moscovium 115 Mc [289]	Livermorium 116 Lv [293]	Tennessee 117 Ts [294]	Oganesson 118 Og [294]
Lanthanides																	
Lanthane 57 La 138,91	Cérium 58 Ce 140,12	Praséodyme 59 Pr 140,9077	Néodyme 60 Nd 144,2	Samarium 62 Sm 150	Europium 63 Eu 152,0	Gadolinium 64 Gd 157	Terbium 65 Tb 158,925	Dyprosium 66 Dy 162,50	Holmium 67 Ho 164,9303	Erbium 68 Er 167,26	Thulium 69 Tm 168,9342	Ytterbium 70 Yb 173	Lutécium 71 Lu 174,967				
Actinides																	
Actinium 89 Ac [227]	Thorium 90 Th 232,04	Protactinium 91 Pa 231,0359	Uranium 92 U 238,0289	Plutonium 94 Pu [244]	Américium 95 Am [243]	Curium 96 Cm [247]	Berkélium 97 Bk [247]	Californium 98 Cf [251]	Einsteinium 99 Es [252]	Fermium 100 Fm [257]	Mendélévium 101 Md [258]	Nobélium 102 No [259]	Lawrencium 103 Lr [266]				